

ФОТОИОНИЗАЦИЯ ВОДОРОДОПОДОБНОГО АТОМА В МАГНИТНОМ ПОЛЕ

© 2007 О. Чулуунбаатар¹, А.А. Гусев¹, С.И. Виноцкий¹, М.С. Касчиев²
В.Л. Дербов³, Л.А. Мельников³, В.В. Серов³

Аннотация

Представлено краткое описание математической модели, метода, набора символьно-численных алгоритмов и пакета программ для решения краевой задачи дискретного и непрерывного спектра атома водорода в однородном магнитном поле и вычисления сечений фотоионизации. Показано, что немонотонная зависимость сечения фотоионизации от энергии электрона связана с существованием серии квазистационарных состояний, погруженных в непрерывный спектр. Предъявлены эффекты резонансного прохождения и полного отражения разноименно заряженных частиц в однородном магнитном поле.

1. Введение. В недавней работе выявлен новый механизм лазерно-стимулированной рекомбинации антиводорода в холодной антипротон-позитронной плазме в лабораторных магнитных полях через квазистационарные состояния, погруженные в непрерывный спектр [1]. Для исследования оптимальных параметров лазерного и магнитного полей в рассматриваемом случае, когда кулоновская энергия сравнима с энергией магнитного поля, традиционные методы расчета неприменимы [2]. В настоящей работе представлены математическая формулировка задачи, метод, алгоритмы [3] и пакет программ [4, 5] для вычисления сечений оптических переходов между связанными и автоионизационными состояниями (дискретного и непрерывного спектра), которые позволили выявить эффекты резонансного прохождения и полного отражения разноименно заряженных частиц в однородном магнитном поле [6].

2. Формулировка задачи. Уравнение Шредингера для волновой функции $\hat{\Psi}(r, \theta, \varphi) = \Psi(r, \theta) \exp(i m \varphi) / \sqrt{2\pi}$ водородоподобного атома с зарядом ядра Z , находящимся в аксиально симметричном магнитном поле $\vec{B} = (0, 0, B)$, записанное в сферических координатах (r, θ, φ) при фиксированном значении магнитного квантового числа $m = 0, \pm 1, \dots$ и z -четности $\sigma = \pm 1$, сводится к эллиптическому уравнению второго порядка в частных производных в области $\Omega = \{0 < r < \infty, -1 < \eta = \cos \theta < 1\}$:

$$\left(-\frac{1}{r^2} \frac{\partial}{\partial r} r^2 \frac{\partial}{\partial r} + \frac{\hat{A}^{(0)}}{r^2} - \frac{2Z}{r} - \epsilon \right) \Psi(r, \eta) = 0. \quad (1)$$

Здесь $\epsilon = 2E$ – удвоенная энергия (в Ридбергах $1\text{Ry} = (1/2) \text{ а.е.}$) состояния $|m\sigma\rangle$ при фиксированных значениях m и σ , $\hat{A}^{(0)} = A^{(0)} + \gamma m r^2$ – оператор, $A^{(0)} \equiv A^{(0)}(p)$ – оператор квазиуглового уравнения для сплюснутых сфероидальных функций [7],

$$A^{(0)}(r, \eta) = -\frac{\partial}{\partial \eta} (1 - \eta^2) \frac{\partial}{\partial \eta} + \frac{m^2}{1 - \eta^2} + p^2 (1 - \eta^2), \quad (2)$$

где слагаемое с параметром $p = \gamma r^2 / 2$ соответствует потенциальной энергии взаимодействия электрона с магнитным полем в приближении бесконечной массы ядра

¹Чулуунбаатар Очбадрах, Гусев Александр Александрович, Виноцкий Сергей Ильич e-mail: vinitzky@theor.jinr.ru, Объединенный институт ядерных исследований, Дубна, 141980, Россия.

²Касчиев Михаил Стефанов, e-mail: kas@math.bas.bg, Институт математики и информатики, БАН, София, Болгария.

³Дербов Владимир Леонардович, Мельников Леонид Аркадьевич, Серов Владислав Викторович, e-mail: derbov@sgu.ru, Саратовский государственный университет, Саратов, 410026, Россия.

в атомной системе единиц ($\hbar = m_e = e = 1$). Здесь $\gamma = B/B_0$, $B_0 \cong 2.35 \times 10^9 G$ – безразмерный параметр, характеризующий магнитное поле B .

Волновые функции $\Psi(r, \eta) \equiv \Psi^{m\sigma}(r, \eta)$ в каждом подпространстве $\mathbf{H}_{m\sigma}$ гильбертова пространства удовлетворяют краевым условиям на границе области Ω

$$\lim_{\eta \rightarrow \pm 1} (1 - \eta^2) \frac{\partial \Psi(r, \eta)}{\partial \eta} = 0, \text{ если } m = 0; \quad \Psi(r, \pm 1) = 0, \text{ если } m \neq 0; \quad (3)$$

$$\frac{\partial \Psi(r, 0)}{\partial \eta} = 0, \text{ если } \sigma = +1; \quad \Psi(r, 0) = 0, \text{ если } \sigma = -1; \quad \lim_{r \rightarrow 0} r^2 \frac{\partial \Psi(r, \eta)}{\partial r} = 0.$$

Волновые функции дискретного спектра $\epsilon \equiv \{\epsilon_{i=1, v}\}_{v=1}^{v_{\max}}$ при больших $r = r_{\max}$ подчиняются краевому условию первого рода

$$\lim_{r \rightarrow \infty} r^2 \Psi(r, \eta) = 0 \rightarrow \Psi(r_{\max}, \eta) = 0, \quad (4)$$

и условию нормировки

$$\int_0^{r_{\max}} \int_{-1}^1 r^2 |\Psi(r, \eta)|^2 dr d\eta = 1. \quad (5)$$

Волновые функции непрерывного спектра при больших $r = r_{\max}$ и фиксированном значении энергии $\epsilon = \epsilon_{i_0}$ подчиняются краевому условию третьего рода

$$\frac{\partial \Psi(r, \eta)}{\partial r} - \mu \Psi(r, \eta) = 0. \quad (6)$$

Согласно известной теореме, существует функция $\mu \equiv \mu(r_{\max}, \epsilon)$ такая, что уравнение (6) удовлетворяется при любом конечном значении r .

2. Метод решения. Решение $\Psi_i^{m\sigma}(r, \eta)$ ищем в виде разложения по набору одномерных базисных функций $\Phi_j(\eta; r) \equiv \Phi_j^{m\sigma}(\eta; r) \in L_2([-1, 1])$ при фиксированных значениях m и четности σ :

$$\Psi_i^{m\sigma}(r, \eta) = \sum_{j=1}^{j_{\max}} \Phi_j^{m\sigma}(\eta; r) \chi_j^{(i)}(r). \quad (7)$$

Здесь функции $\Phi_j(\eta; r)$ при каждом фиксированном значении параметра r являются решениями одномерной параметрической задачи на собственные значения

$$\hat{A}^{(0)}(r, \eta) \Phi_j(\eta; r) = E_j(r) \Phi_j(\eta; r), \quad \int_{-1}^1 \Phi_i(\eta; r) \Phi_j(\eta; r) d\eta = \delta_{ij}. \quad (8)$$

Подставляя разложение (7) в уравнения (1), (2) с учетом (8), получаем краевую задачу для системы обыкновенных дифференциальных уравнений второго порядка относительно неизвестного вектора $\chi^{(i)}(r) = \{\chi_j^{(i)}(r)\}_{j=1}^{j_{\max}}$:

$$\left(-\mathbf{I} \frac{1}{r^2} \frac{d}{dr} r^2 \frac{d}{dr} + \frac{\mathbf{U}(r)}{r^2} + \mathbf{Q}(r) \frac{d}{dr} + \frac{1}{r^2} \frac{dr^2 \mathbf{Q}(r)}{dr} \right) \chi^{(i)}(r) = \epsilon_i \mathbf{I} \chi^{(i)}(r), \quad (9)$$

где \mathbf{I} – единичная матрица, $\mathbf{U}(r)$ и $\mathbf{Q}(r)$ – матрицы размерности $j_{\max} \times j_{\max}$:

$$U_{ij}(r) = \frac{E_i(r) + E_j(r) - 4Zr}{2} \delta_{ij} + r^2 H_{ij}(r),$$

$$H_{ij}(r) = \int_{-1}^1 \frac{\partial \Phi_i(\eta; r)}{\partial r} \frac{\partial \Phi_j(\eta; r)}{\partial r} d\eta = H_{ji}(r), \quad (10)$$

$$Q_{ij}(r) = - \int_{-1}^1 \Phi_i(\eta; r) \frac{\partial \Phi_j(\eta; r)}{\partial r} d\eta = -Q_{ji}(r).$$

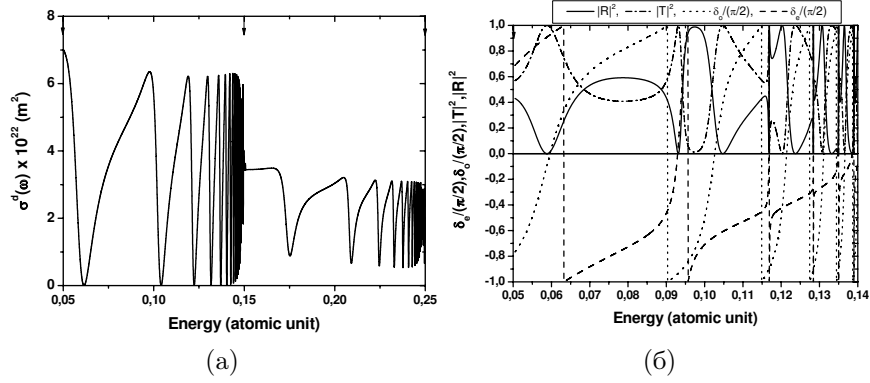


Рис. 1. Сечения фотоионизации из $1s_0$ -состояния (а); коэффициенты прохождения $|\hat{\mathbf{T}}|^2$ и отражения $|\hat{\mathbf{R}}|^2$ четные $\mu_1 = \delta_e$ и нечетные $\mu_1 = \delta_o$ фазовые сдвиги из уравнения (14) (б) в зависимости от энергии E для $\gamma = 1 \times 10^{-1}$ и конечного состояния с $\sigma = -1$, $Z = 1$, $m = 0$. Стрелки указывают на пороги Ландау $E_{i_0} = \epsilon_{m_{i_0}}^{th}/2$

Ограниченные и регулярные решения $\chi^{(i)}(r)$ подчиняются краевым условиям при $r \rightarrow 0$:

$$\lim_{r \rightarrow 0} r^2 \left(\frac{d\chi^{(i)}(r)}{dr} - \mathbf{Q}(r)\chi^{(i)}(r) \right) = 0. \quad (11)$$

Решения дискретного спектра $\epsilon \equiv \{\epsilon_{i=1,v}\}_{v=1}^{V_{\max}}$, соответствующие неизвестным собственным значениям $\epsilon_{i,v}$, подчиняются краевым условиям

$$\lim_{r \rightarrow \infty} r^2 \chi^{(i)}(r) = 0 \rightarrow \chi^{(i)}(r_{\max}) = 0 \quad (12)$$

и условиям ортонормировки

$$\int_0^{r_{\max}} r^2 (\chi^{(i)}(r))^T \chi^{(j)}(r) dr = \delta_{ij}. \quad (13)$$

Для непрерывного спектра при фиксированной энергии $\epsilon = \epsilon_{i_0}$ и переменной $r = r_{\max}$ набор ограниченных решений $\chi(r) = \{\chi^{(i)}(r)\}_{i=1}^{N_o}$, $N_o \leq j_{\max}$ подчиняется краевому условию третьего рода с матрицей неизвестных фазовых сдвигов $\mathbf{\Lambda} = \{\delta_{ij}\mu_i\}_{i,j=1}^{N_o}$

$$\frac{d\chi(r)}{dr} - \mathbf{Q}(r)\chi(r) = \chi(r)\mathbf{\Lambda}, \quad (14)$$

где N_o – число открытых каналов, для которых $p_{i_0}^2 = 2E - \epsilon_{m_{i_0}}^{th} > 0$, $\epsilon_{m_{i_0}}^{th} = \gamma(2i_0 - 1 + m + |m|)$, или с неизвестной несимметричной матрицей \mathbf{R} размерностью $j_{\max} \times j_{\max}$

$$\frac{d\chi(r)}{dr} = \mathbf{R}\chi(r), \quad r = r_{\max}. \quad (15)$$

3. Алгоритмы решения и пакет программ. Для редукции исходной двумерной задачи к системе радиальных уравнений, решаемой на конечном интервале $r \in (0, r_{\max})$ с краевыми условиями третьего рода, разработан набор символьно-численных алгоритмов [3] решения параметрической задачи на собственные значения и вычисления эффективных потенциалов, включая построение асимптотик

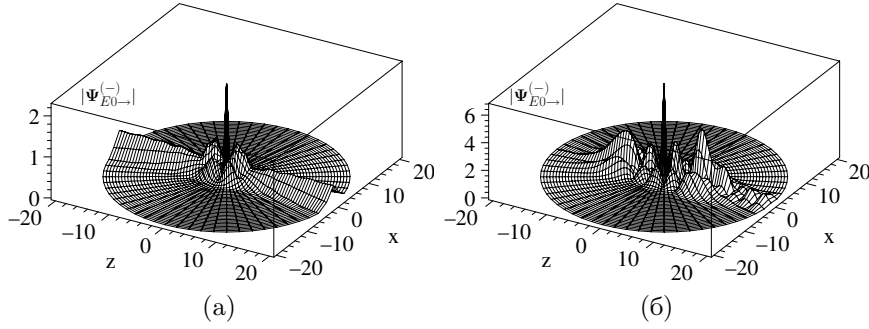


Рис. 2. Профили в плоскости xz волновой функции непрерывного спектра $|\Psi_{E0-}^{(-)}|$ с $Z = 1$, $m = 0$ и $\gamma = 1 \times 10^{-1}$. Резонансное прохождение при энергии $E = 0.05885$ а.е. (а) и полное отражение при энергии $E = 0.11692$ а.е. (б) соответствуют значениям $|\hat{\mathbf{T}}|^2 = 1$ и $|\hat{\mathbf{R}}|^2 = 1$ при указанных значениях E на рис. 1б

эффеkтивных потенциалов и решений радиальных уравнений при малых и больших значениях параметра r . Структура символьно-численных алгоритмов пакета ROTHMF [5], реализованного в среде FORTRAN, следующая:

EIGENF вычисляет численные значения угловых сплюснутых сфероидаьных функций $\Phi_i \equiv \Phi^{m\sigma}(\eta; r)$ по переменной $\eta \in [-1, 1]$, зависящих от параметра r , на сетке значений из конечного интервала $r \in [0, r_{\max}]$.

MATRM вычисляет численные значения матричных элементов $Q_{ij}(r)$, $H_{ij}(r)$ на сетке значений радиальной переменной из конечного интервала $r \in [0, r_{\max}]$.

MATRA вычисляет в аналитическом виде коэффициенты асимптотических разложений матричных элементов $(i, j = 1, \dots, j_{\max})$ при больших значениях радиальной переменной $r \gg 1$.

ASYMRS вычисляет в аналитическом виде асимптотики фундаментальных решений системы дифференциальных уравнений второго порядка по радиальной переменной при $r > r_{\max}$ и $rp_{i_0} \gg 1$, используемых для построения краевых условий на редуцированном интервале.

KANTBP [4] вычисляет численные значения решения (дискретного или непрерывного спектра) краевых задач (9)–(15) для системы дифференциальных уравнений на сетке значений радиальной переменной из конечного интервала $r \in [0, r_{\max}]$.

DIPROT вычисляет дипольные матричные элементы оптического перехода, используя решения задач дискретного и непрерывного спектра, полученные с помощью KANTBP.

4. Сечения фотоионизации. Схема расчета сечения фотоионизации с помощью пакета программ KANTBP и ROTHMF представлена ниже. Собственные функции непрерывного спектра $\Psi_i^{Em\sigma}(r, \eta)$ при фиксированном $\epsilon = 2E$ имеют вид

$$\Psi_i^{Em\sigma}(r, \eta) = \sum_{j=1}^{j_{\max}} \Phi_j^{m\sigma}(\eta; r) \hat{\chi}_{ji}^{(m\sigma)}(E, r), \quad i = 1, \dots, N_o, \quad (16)$$

где $\hat{\chi}^{(m\sigma)}(E, r)$ – радиальная компонента волновой функции с заданной

четностью σ . Функция $\Psi_i^{Em\sigma}(r, \eta)$ нормирована условием

$$\begin{aligned} \left\langle \Psi_i^{Em\sigma}(r, \eta) \left| \Psi_{i'}^{E'm'\sigma'}(r, \eta) \right. \right\rangle &= \sum_{j=1}^{j_{\max}} \int_0^{\infty} r^2 dr \left(\hat{\chi}_{ji}^{(m\sigma)}(E, r) \right)^* \hat{\chi}_{j'i'}^{(m'\sigma')}(E', r) = \\ &= \delta(E - E') \delta_{mm'} \delta_{\sigma\sigma'} \delta_{ii'}. \end{aligned} \quad (17)$$

Вещественнозначная радиальная функция $\hat{\chi}^{(m\sigma)}(E, r)$ выражается через $\chi^{(p)}(r)$, решение уравнения (9), удовлетворяющее граничному условию типа “стоячих волн”:

$$\hat{\chi}^{(m\sigma)}(E, r) = \sqrt{\frac{2}{\pi}} \chi^{(p)}(r) \mathbf{C} \cos \delta \quad (18)$$

и имеет стандартную асимптотическую форму [4]

$$\chi^{(p)}(r) = \chi^s(r) + \chi^c(r) \mathbf{K}, \quad \mathbf{K} \mathbf{C} = \mathbf{C} \tan \delta, \quad \mathbf{C} \mathbf{C}^T = \mathbf{C}^T \mathbf{C} = \mathbf{I}_{oo}, \quad (19)$$

где $\mathbf{K} \equiv \mathbf{K}_\sigma$ – короткодействующая матрица реакции, $\tan \delta$ – ее собственные значения и \mathbf{C} – ортогональная матрица соответствующих собственных функций, \mathbf{I}_{oo} – единичная матрица размерности $N_o \times N_o$. Функции $\chi^s(r)$ и $\chi^c(r)$, соответствующие регулярным и нерегулярным кулоновским функциям, заданы в виде мнимой $\chi^s(r) = 2\Im(\chi(r))$ и вещественной $\chi^c(r) = 2\Re(\chi(r))$ частей компоненты асимптотического решения со старшим членом

$$\chi_{ji_o}(r \rightarrow \infty) = \frac{\exp(i p_{i_o} r + i \zeta \ln(2 p_{i_o} r) + i \delta_{i_o}^c)}{2r \sqrt{p_{i_o}}} \delta_{ji_o}, \quad (20)$$

где p_{i_o} – импульс в канале, $\zeta \equiv \zeta_{i_o} = Z/p_{i_o}$ – параметр Зоммерфельда, $\delta_{i_o}^c = \arg \Gamma(1 - i\zeta)$ – кулоновский фазовый сдвиг [7]. Регулярные и нерегулярные функции при больших r удовлетворяют соотношению с обобщенным Вронскианом [4]

$$\mathbf{Wr}(\mathbf{Q}(r); \chi^c(r), \chi^s(r)) = \mathbf{I}_{oo}. \quad (21)$$

Вычислив \mathbf{R} матрицу [4, 5], получаем уравнения, содержащие матрицу реакции \mathbf{K} при $r = r_{\max}$:

$$\left(\mathbf{R} \chi^c(r) - \frac{d\chi^c(r)}{dr} \right) \mathbf{K} = \left(\frac{d\chi^s(r)}{dr} - \mathbf{R} \chi^s(r) \right). \quad (22)$$

Если есть закрытые каналы, то матрицы, входящие в (22) являются прямоугольными. В этом случае матрица реакции \mathbf{K} может быть представлена в виде

$$\mathbf{K} = -\mathbf{X}^{-1}(r_{\max}) \mathbf{Y}(r_{\max}), \quad (23)$$

где $\mathbf{X}(r)$ и $\mathbf{Y}(r)$ – матрицы размерностью $N_o \times N_o$ и определяются соотношениями

$$\mathbf{X}(r) = \left(\frac{d\chi^c(r)}{dr} - \mathbf{R} \chi^c(r) \right)_{oo}, \quad \mathbf{Y}(r) = \left(\frac{d\chi^s(r)}{dr} - \mathbf{R} \chi^s(r) \right)_{oo}. \quad (24)$$

Радиальные компоненты “падающих” волн также выражаются через радиальные компоненты “стоячих” волн и короткодействующие матрицы реакции \mathbf{K} :

$$\hat{\chi}^{(m\sigma)}(E, r) = \sqrt{\frac{2}{\pi}} \chi^-(r) = i \sqrt{\frac{2}{\pi}} \chi^{(p)}(r) (\mathbf{I}_{oo} + i \mathbf{K})^{-1} \quad (25)$$

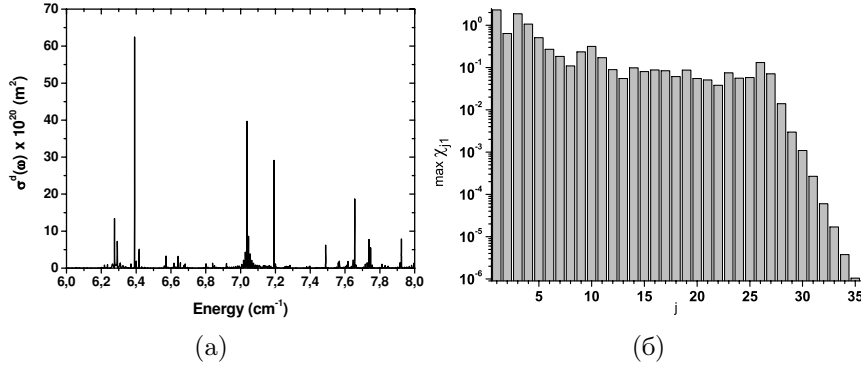


Рис. 3. (а). Сечения фотоионизации из состояний дискретного спектра $3s_0$ в зависимости от энергии E для $\gamma = 2.595 \times 10^{-5}$ и конечного состояния с $\sigma = -1$, $Z = 1$, $m = 0$. (б). Максимумы абсолютных значений компонент радиальных функций $\chi_{j1}(E, r)$ при $E = 6.0 \text{ cm}^{-1}$ и $j_{\max} = 35$ в зависимости от номера компоненты j

и при $r \rightarrow \infty$ имеют вид

$$\hat{\chi}^{(m\sigma)}(E, r) = \sqrt{\frac{2}{\pi}} (\chi(r) - \chi^*(r) \mathbf{S}^\dagger). \quad (26)$$

Здесь \mathbf{S} – короткодействующая матрица рассеяния, которая выражается через матрицу рассеяния $\check{\mathbf{S}}_\sigma$ и кулоновский фазовый сдвиг δ^c , а также матрицу реакции \mathbf{K} :

$$\mathbf{S} \equiv \mathbf{S}_\sigma = \exp(-i\delta^c) \check{\mathbf{S}}_\sigma \exp(-i\delta^c) \quad \mathbf{S}^\dagger \mathbf{S} = \mathbf{S} \mathbf{S}^\dagger = \mathbf{I}_{oo}, \quad (27)$$

$$\mathbf{K} = i(\mathbf{I}_{oo} + \mathbf{S})^{-1}(\mathbf{I}_{oo} - \mathbf{S}), \quad \mathbf{S} = (\mathbf{I}_{oo} + i\mathbf{K})(\mathbf{I}_{oo} - i\mathbf{K})^{-1}. \quad (28)$$

Полная волновая функция с асимптотикой вида “волны, падающие на центр + исходящая волна” имеет вид

$$\Psi_{Em\hat{v}}^{(-)}(r, \eta) \equiv \Psi_{Em\hat{v}}^{(-)}(r, \eta) = \frac{1}{\sqrt{2}} \left(\Psi^{Em\sigma=+1}(r, \eta) \pm \Psi^{Em\sigma=-1}(r, \eta) \right) \exp(-i\delta^c) \quad (29)$$

и соответствует волновой функции $|E\hat{v}mN_\rho\rangle$ в цилиндрических координатах (ρ, z, φ) , описывающей ионизацию атома [6]

$$|E\hat{v}mN_\rho\rangle = \frac{\exp(im\varphi)}{2\pi} \sum_{n'=1}^{j_{\max}} \Phi_{n'}(\rho) \chi_{Em\hat{v}n'n}^{(-)}(z). \quad (30)$$

Здесь $\Phi_{n'}(\rho)$ – собственные функции двумерного осциллятора, $\chi_{Em\hat{v}n'n}^{(-)}(z)$ – продольные компоненты с асимптотикой

$$\chi_{E\hat{v}}^{(-)}(z \rightarrow \pm\infty) = \begin{cases} \begin{cases} \mathbf{X}^{(+)}(z) + \mathbf{X}^{(-)}(z) \hat{\mathbf{R}}^\dagger, & z > 0, \\ \mathbf{X}^{(+)}(z) \hat{\mathbf{T}}^\dagger, & z < 0, \end{cases} & \hat{v} = \rightarrow, \\ \begin{cases} \mathbf{X}^{(-)}(z) \hat{\mathbf{T}}^\dagger, & z > 0, \\ \mathbf{X}^{(-)}(z) + \mathbf{X}^{(+)}(z) \hat{\mathbf{R}}^\dagger, & z < 0, \end{cases} & \hat{v} = \leftarrow, \end{cases} \quad (31)$$

где коэффициенты матрицы $\mathbf{X}^{(\pm)}(z)$ определяются выражением

$$X_{n'n}^{(\pm)}(z) = p_{n'}^{-1/2} \exp\left(\pm i p_{n'} z \pm i \frac{Z}{p_{n'}} \frac{z}{|z|} \ln(2p_{n'} |z|)\right) \delta_{n'n}. \quad (32)$$

Заметим, что $\chi_{E\mp}(^{+}) (z) = \left(\chi_{E\mp}(^{-}) (z) \right)^*$. Функции нормированы на

$$\sum_{n''=1}^{j_{\max}} \int_{-\infty}^{\infty} \left(\chi_{E'm\hat{v}'n''n'}(^{\pm}) (z) \right)^* \chi_{Em\hat{v}n''n}(z) dz = 2\pi\delta(E' - E)\delta_{\hat{v}'\hat{v}}\delta_{n'n}. \quad (33)$$

$\hat{\mathbf{S}}$ -матрица составляется из матриц прохождения $\hat{\mathbf{T}}$ и отражения $\hat{\mathbf{R}}$ в виде

$$\hat{\mathbf{S}} = \begin{pmatrix} \hat{\mathbf{T}} & \hat{\mathbf{R}} \\ \hat{\mathbf{R}} & \hat{\mathbf{T}} \end{pmatrix}. \quad (34)$$

Ее унитарность следует из условий $\hat{\mathbf{T}}^\dagger\hat{\mathbf{T}} + \hat{\mathbf{R}}^\dagger\hat{\mathbf{R}} = \mathbf{I}_{oo}$ и $\hat{\mathbf{R}}^\dagger\hat{\mathbf{T}} + \hat{\mathbf{T}}^\dagger\hat{\mathbf{R}} = \mathbf{0}$. Матрицы прохождения $\hat{\mathbf{T}}$ и отражения $\hat{\mathbf{R}}$ связаны с матрицами рассеяния $\hat{\mathbf{S}}_\sigma$ соотношениями

$$\hat{\mathbf{T}} = \frac{1}{2}(-\hat{\mathbf{S}}_{+1} + \hat{\mathbf{S}}_{-1}), \quad \hat{\mathbf{R}} = \frac{1}{2}(-\hat{\mathbf{S}}_{+1} - \hat{\mathbf{S}}_{-1}). \quad (35)$$

В случае линейно-поляризованного света сечения фотоионизации $\sigma_{m\sigma\sigma'}^d(\omega) \equiv \sigma_{Nlm}^d(\omega)$ определялись по формуле

$$\sigma_{Nlm}^d(\omega) = 4\pi^2\alpha\omega \sum_{i=1}^{N_o} \left| D_{i,N,l}^{m\sigma\sigma'}(E) \right|^2 a_0^2, \quad (36)$$

$$\begin{aligned} D_{i,i',v'}^{m\sigma\sigma'}(E) &= \left\langle \Psi_i^{Em\sigma=\mp 1}(r, \eta) \left| r\eta \right| \Psi_{i',v'}^{m\sigma'=\pm 1}(r, \eta) \right\rangle = \\ &= \sum_{j=1}^{j_{\max}} \int_0^{r_{\max}} r^2 dr \hat{\chi}_{ji}^{(m\sigma=\mp 1)}(E, r) d_{ji',v'}^{(m\sigma\sigma')}(r), \end{aligned} \quad (37)$$

$$d_{ji',v'}^{(m\sigma\sigma')}(r) = \sum_{j'=1}^{j_{\max}} \left\langle \Phi_j^{m\sigma=\mp 1}(\eta; r) \left| r\eta \right| \Phi_{j'}^{m\sigma'=\pm 1}(\eta; r) \right\rangle_\eta \chi_{j'i',v'}^{(m\sigma'=\pm 1)}(r). \quad (38)$$

Здесь $\omega = E - E_{Nlm}$ - частота электромагнитной волны, $E_{Nlm} \equiv E_{m\sigma'i'v'}$ - энергия начального связанного состояния $|Nlm\rangle = \Psi_{i',v'}^{m\sigma'}(r, \eta)$. Решение непрерывного спектра $\chi^{(p)}(r)$, имеющее асимптотику “стоячей” волны, и матрица реакции \mathbf{K} , используемая при вычислении (18) или (26), а также решение дискретного спектра $\chi(r)$ и соответствующее собственное значение $E_{m\sigma'i'=1v'}$ вычисляются с помощью программы KANTBP. Тестовые результаты работы пакета POTHMF представлены на рис. 1, 2 с необходимыми пояснениями. Как следует из рисунков, имеют место немонотонная зависимость сечения фотоионизации от энергии электрона и эффекты резонансного прохождения и полного отражения разноименно заряженных частиц в однородном магнитном поле, связанные с существованием серии квазистационарных состояний, погруженных в непрерывный спектр, обсуждение которых дано в [6]. Время счета сечения при заданной энергии E непрерывного спектра (при $j_{\max} = 10$) на компьютере AMD ATHLON 3GHz, 2GB RAM, WINDOWS XP составляет 18 секунд. На рис. 3 представлены фрагмент сечения фотоионизации выше первого порога $E_1 = 5.69\text{eV}$ для лабораторного магнитного поля $B \sim 6\text{ T}$ и линейная скорость сходимости разложения (7) при $j_{\max} = 35$ по числу базисных функций с $j \geq 26$.

Заключение. Эффективность работы метода, алгоритмов и пакета программ продемонстрирована на типичных примерах расчета сечений фотоионизации атома водорода в магнитном поле, эффектов резонансного прохождения и полного отражения заряженных частиц в поперечном запирающем потенциале, что позволяет

оценить необходимые ресурсы ЭВМ для решения данного класса задач и возможности его применения для расчета лазерно-стимулированной рекомбинации антиводорода [1, 6], ионизации двухчастичных квантовых систем во внешних полях [8] и каналирования легких ядер в тонких пленках с примесями [9].

Работа частично поддержана РФФИ 07-01-00660, CRDF BRNE REC-006, SR-006-X1/V75M06 Y3-P-06-08, БААЭ (2004-2007).

Список литературы

- [1] Серов, В.В. / В.В. Серов, В.Л. Дербов, С.И. Виноцкий // Оптика и Спектроскопия. – 2007. Т. 102. – С. 612.
- [2] Guest, J.R. / J.L. Guest, J.-H. Choi, G. Raithel // Phys. Rev. A. – 2003. – V. 68. – P. 022509.
- [3] Виноцкий, С.И. / С.И. Виноцкий [и др.] // Программирование. – 2007. – Т. 2. – С. 105.
- [4] Chuluunbaatar, O. / O. Chuluunbaatar [et al.] // Comput. Phys. Commun. – 2007. – V. 177. – P. 649.
- [5] Chuluunbaatar, O. / O. Chuluunbaatar [et al.] // Comput. Phys. Commun. – 2007. doi:10.1016/j.cpc.2007.09.005.
- [6] Chuluunbaatar, O. / O. Chuluunbaatar [et al.] // J. Phys. A. – 2007. – V. 40. – P. 11485.
- [7] Абрамовиц М. Справочник по специальным функциям / М. Абрамович, И. Стиган – Москва: Наука, 1979.
- [8] Serov, V.V. / V.V. Serov [et al.] // Phys. Rev. A. – 2007. – V. 75. – P. 012715.
- [9] Demkov, Yu.N. / Yu.N. Demkov, J.D. Meyer // Eur. Phys. J. B. – 2004. – V. 42. – P. 361.

THE PHOTOIONIZATION OF A HYDROGEN LIKE ATOM IN A MAGNETIC FIELD

© 2007 O. Chuluunbaatar¹, A.A. Gusev¹, S.I. Vinitzky¹, M.S. Kaschiev², V.L. Derbov³, L.A. Melnikov³, V.V. Serov³

Abstract

Brief description of the mathematical model, method, set of symbolic-numerical algorithms and program package for solving a boundary problem for discrete and continuous spectra of a hydrogen-like atom in a homogeneous magnetic field and calculation of a photoionization cross-section is presented. It is shown, that a nonmonotonic dependence of the photoionization cross-section is connected with existence of series of quasistationary states embedded in continuum spectrum. Effects of the resonance transmission and total reflection of the opposite charged particles in a homogeneous magnetic field are manifested.

¹Chuluunbaatar Ochbadrakh, Gusev Alexander Alexandrovich, Vinitzky Serguei Ilyich, e-mail: vinitzky@theor.jinr.ru, Joint Institute for Nuclear Research, Dubna, 141980, Russia.

²Michail Kaschiev, e-mail: kaschiev@math.bas.bg, Institute of Mathematics and Informatics, Sofia, Bulgaria.

³Derbov Vladimir Leonardovich, Melnikov Leonid Arkadievich, Serov Vladislav Victorovich, e-mail: derbov@sgu.ru, Saratov State University, Saratov, 410026, Russia.